

講 話

Strength of Hook for Machine Parts.

航空研究所所員 井口在屋氏

機械類の一要素である所の hook は crane hook, chain link, 汽車の draw bar hook, Punching machine, Shearing machine 等の frame に用ひられて居り機械力に對して重要な働きを爲すものである。

20 ton 起重機の荷重に對し普通 hook の設計圖は fig. 1 に示す形狀であり、荷物を引掛ける重要な部分は腰の中央なる水平截斷面の處であり、bending moment の最大なる處に於て設計するのが普通である。

Fig. 5 は hook の中央に於ける水平截斷面を示し 0 點は荷重の作用線を示す。此線は紙の平面に直角であると思召せ。G は截斷面の中心であり GZ はその中立線である。一般の場合に於て G の軌跡の曲がりの半径  $\rho$  は距離  $l$  に等し。荷物を掛ける部分の距離、即ち  $l$  が大きくなれば bending moment が増大し、又半径  $\rho$  が小さくなれば因て生ずる所の bending stress が増大する。若し半径  $\rho=0$  と

**HOOK**  
for 20 ton Crane.

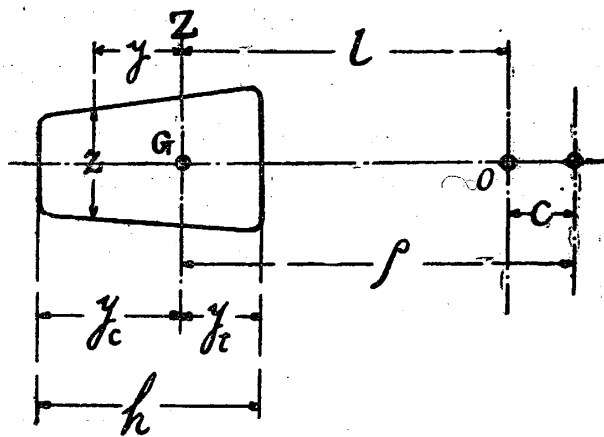
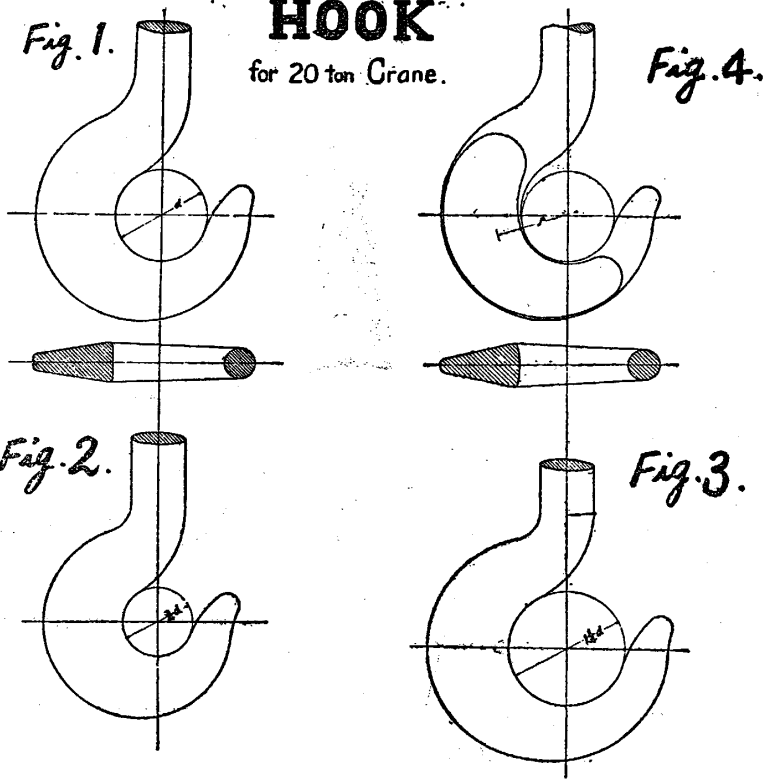


Fig. 5

なるならば stress は無窮大となる譯である、故に此の  $\rho$  を適當に定むれば stress 最小となる筈である。Fig. 2, 3 は同じ size の hook に對し  $\frac{3}{4}\rho$  の場合と  $1\frac{1}{4}\rho$  の場合の形狀を示す。又  $l$  を一定にした儘で中心を offset して Fig. 4 の如くすれば stress を減ずることが出来る。

Punching Machine 又は shearing machining 等の frame に於て曲げ方が自由な場合には此の方法を採用して stress を減少すべきである。

計算の一般の式は次の通り

$$f = \frac{Wl}{\rho(A' - A)} \left( \frac{\rho}{\rho + y} - \frac{A'}{A} \right) \dots\dots\dots(1)$$

之れは屈曲せるうつ梁\*に對する一般公式である、此の式中  $A$  は截斷斷面積、 $A'$  は變形面積 (modified area) と稱するものであり次の積分を表はす。

$$A' = \rho \int \frac{zd^y}{\rho + y}$$

Curvature の中心を少し offset して、即ち  $c$  丈けづらして上式を適用するときは次の如し

$$f = \frac{W}{A} \left( 1 - \frac{c}{\rho} \right) \left( \frac{A}{A' - A} \frac{y_t}{\rho - y_t} - 1 \right) \dots\dots\dots(2)$$

今  $c = \frac{1}{2}mh$  とし、 $h$  を截斷面の深さとすれば、 $\frac{1}{2}m$  は offset を深さの分數で表はしたるものである、而して上式は次の如くなる

$$f + \frac{W}{A} = \frac{W}{A} \left\{ \frac{1 - mx}{F(x)} + mx \right\} \dots\dots\dots(3)$$

式中

$$F(x) = \frac{A' - A}{A} \left( \frac{\rho - y_t}{y_t} \right), \dots\dots\dots(4)$$

其の  $x$  は

$$x = \frac{h}{2\rho}$$

Hook の中央なる截斷面の形は rectangular, trapezoidal, circular 等である。triangular section は一般に用ゐられない。其の理由は次の如し、

三角形なる截斷面を有するうつ梁\*に於て頂點①に於ける曲げ内力を  $f$  とすれば之れに對する moment of resistance は

\* うつばりははりの古言である、單にはりに唱ふるときは引き張り、突き張り、針金などはりと混じ易い、因て我は語呂のよい古言うつばりを復活する。

$$M_1 = f_1 \frac{Bh^2}{24}$$

であり、底邊②に於ける曲げ内力を  $f_2$  とすればこれに対する moment of resistance は

$$M_2 = f_2 \frac{Bh^2}{12}$$

である。

今 Fig. 5 に於ける section line を施せる部分をなきものとして moment を求むれば

$$M_1 = \frac{f_1 B}{12h} \frac{(h^2 + 4h\alpha + \alpha^2)(h - \alpha)^2}{2h + \alpha}$$

之の expression は  $\alpha$  の變化に對して Max. value を持て居る、因て之れを differentiate して其の値を求むれば

$$\alpha_1 = 0.1304h$$

の時、即ち  $\alpha$  なる部分を全高さ  $h$  の約一割三分程切り取れば  $M_1$  を最大となる、即ち

$$M_{1 \max.} = 1.093 \times \frac{f_1 Bh^2}{24}$$

となり resistance は百に付き九個三分だけ増加する、之れに對する  $M_2$  は

$$M_2 = 0.923 \times \frac{f_2 Bh^2}{12}$$

である。之れ triangular section を採用せぬ理由である。

今先づ一般的な截断面に就て考ふるときは

$$\begin{aligned} A' - A &= \rho \int \frac{zdy}{\rho + y} - \int zdy = \frac{I_2}{\rho^2} - \frac{I_3}{\rho^3} + \frac{I_4}{\rho^4} - \dots \\ &= \sum \frac{I_n}{(-\rho)^n}, \end{aligned}$$

Where

$$I_n = \int y^n z dy.$$

$A$  = Area of section.

$A'$  = modified area.

$I$  = moment of inertia of the section about the neutral axis.

$\rho$  = radius of curvature.

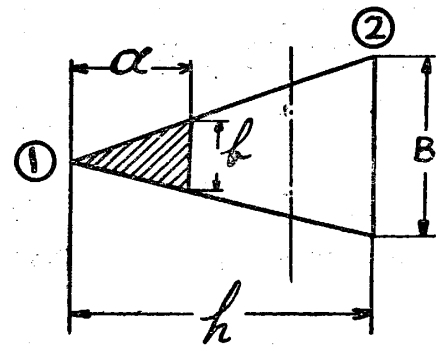


Fig. 6.

截断面が circular rectangular, 等の如く neutral axis に對して對稱するときは  $\frac{I}{\rho}$  に含まれる  $n$  が奇數の場合に其項は消去失する。

前記級數に於て第三項なる  $\frac{I_4}{\rho^4}$  位まで大抵の形には充分である。

中心點の offset  $c$  を零とすれば  $A'$  を前式から除去して次の結果を得る。

$$f + \frac{W}{A} = \frac{W}{\left(\frac{\rho}{y_t} - 1\right) \sum \frac{I_n}{(-\rho)^n}} \dots\dots\dots (5)$$

然るに  $f + \frac{W}{A}$  は hook の腰の中央部に於ける合成内力である、この合成内力が

$$\left(\frac{\rho}{y_t} - 1\right) \sum \frac{I_n}{(-\rho)^n}$$

の函數であることを上の式が明示する。

依てその内力を最小にする條件として半徑  $\rho$  に對し differentiate して

$$\sum \left[ \frac{I_n}{(-\rho)^n} \left\{ (n-1) - \frac{ny_c}{\rho} \right\} \right] = 0 \dots\dots\dots (6)$$

と置く。この式中  $n$  は自然數 2, 3, 4, ... である。

今一例として hook の截断面 rectangular なる場合を取りて其幅を  $b$  とし其高さを  $h$  とし、更に  $\frac{h}{2\rho}$  なる比數を  $x$  と名づけるときは前記條件公式 (6) は次の通りになる。

$$\sum \left[ \frac{x^n}{n+1} \left\{ (n-1) - \frac{ny_t}{\rho} \right\} \right] = 0.$$

Rectangular section は其中立線に關して對稱するが故に  $n$  の値は 3, 5, 7, ...  $n$  である。

今  $n$  を無窮大となすときは上式は次の通りなる整齊式に變化する。

$$\frac{2x(2+x)}{(1+x)(2-x)} = \log \frac{1+x}{1-x}$$

此式を解き

$$x = \frac{h}{2\rho} = 0.646$$

を得る。尙又

$$\frac{(\rho - y_t)}{y_t} = \frac{1}{x} - 1$$

なるが故に合成内力の式即ち(3)式及び(4)式から次表の数を計算することは容易である。

式中の  $F(x)$  は次の通り

$$F(x) = \left(\frac{A'}{A} - 1\right) \left(\frac{\rho}{y_t} - 1\right) = \frac{1}{x^2} (1-x) \left(\frac{1}{2} \log \frac{1+x}{1-x} - x\right).$$

$x = \frac{h}{2\rho}$	$\frac{\text{合成内力}}{\text{直接内力}} = \frac{fA+W}{W} = \frac{1}{F(x)}$
0	inf.
.1	31.70
.2	18.18
.3	13.46
.4	11.14
.5	10.14
.6	9.66
.646	9.62
.7	9.77
.8	10.72
.9	14.16
1.0	inf.

普通の設計に従ひ製作せられた起重機 hook に依て合成内力は直接荷重に依て生ずる内力の約 10 倍になつて居り Minimum Value 9.62 に比較して大差のないことが上表で明かにわかる。

次に trapezoidal section を考へ荷重の作用線が hook の中心を通過すと假定する、即ち offset  $c$  が零であると假定する。今一例として並行せる二邊  $b, b_1$  が次の割合なる場合に就て計算を試みる。

假定.....  $\theta = \frac{1}{3} \cdot \frac{b-b_1}{b+b_1}$  を  $\frac{1}{10}$  とす。

然るときは.....  $b_1 = \frac{1-3\theta}{1+3\theta} b = 0.538 b$

中立軸の距離.....  $\bar{h} = y_t = \frac{1}{2}(1-\theta)h = 0.45 h,$

截斷面積.....  $A = \frac{1}{1+3\theta} bh = 0.769 bh.$

此場合に於ては直接に變形面積  $A'$  を計算して(4)式に適用し更にその  $F(x)$  を(3)式に

適用するが近路らしい。(3)式に於て  $m$  の値は今は零であると知りたまへ。かくして

(3)式は.....  $f + \frac{W}{A} = \frac{W}{A} \cdot \frac{1}{F(x)}$  となり

(4)式は.....  $F(x) = \left\{ \frac{f(x)}{x^2} - 1 \right\} \left\{ \frac{1}{(1-\theta)x} - 1 \right\}$  となり

その  $f(x)$  は.....  $f(x) = \frac{1}{2} \left\{ (1+3\theta^2)x + 3\theta \right\} \log \frac{1+(1+\theta)x}{1-(1-\theta)x} - 3\theta x$  である。

上記假定の値を此等の式にはめ込んで次の表を計算した。

表中の最小内力に對する形は Fig. 7.

$x = \frac{h}{2\rho}$	$\frac{\text{合成内力}}{\text{直接内力}} = \frac{fA+W}{W} = \frac{1}{F(x)}$
0.0	inf.
0.1	28.00
0.2	16.98
0.3	12.48
0.4	10.33
0.5	9.17
0.6	8.61
0.698	8.43
0.7	8.43
0.8	8.65
0.9	9.57
1.0	12.42

合成内力が最小なるとき  $x = h/2\rho$  の精確な値は計算によれば 0.693 となる。

Trapezoidal section の第二例として並行せる二邊  $b, b_1$  が次の割合なる場合に就て計算を試みる。

假定 .....  $\theta = \frac{1}{3} \cdot \frac{b-b_1}{b+b_1}$  を 0.2 とす。

然るときは .....  $b_1 = \frac{1-3\theta}{1+3\theta} b = \frac{1}{4} b,$

中立軸の距離 .....  $\bar{h} = y_c = \frac{1}{2}(1-\theta)h = 0.4h,$

截斷面積 .....  $A = \frac{1}{1+3\theta} bh = \frac{5}{8} bh.$

尙又  $f(x)$  及び  $F(x)$  に上記の假定數値  $\theta = 0.2$  をはめ込んで次の表を計算した。

最小合成内力 =  $8.43 \times$  (直接内力)

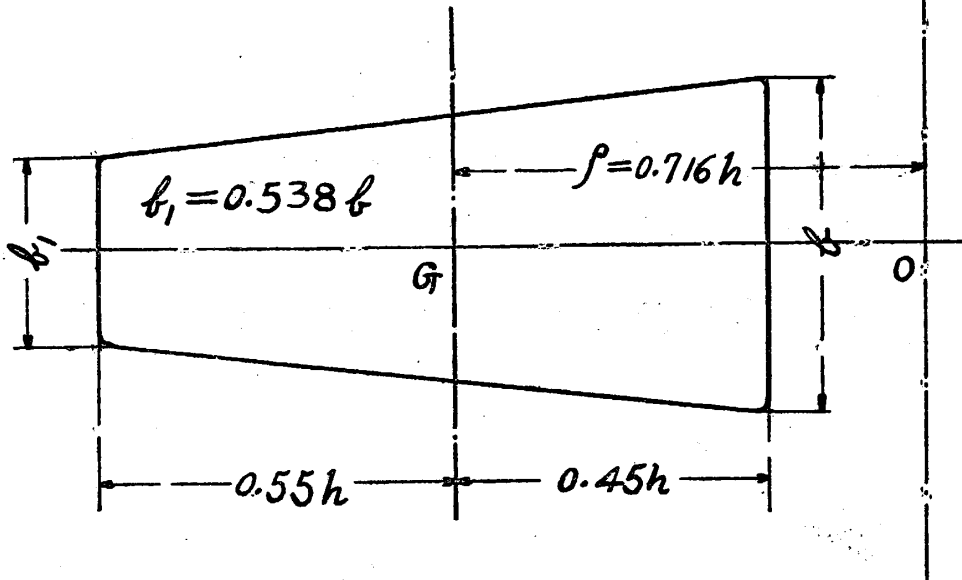


Fig. 7.

最 合成内力 =  $7.70 \times$  (直接内力)

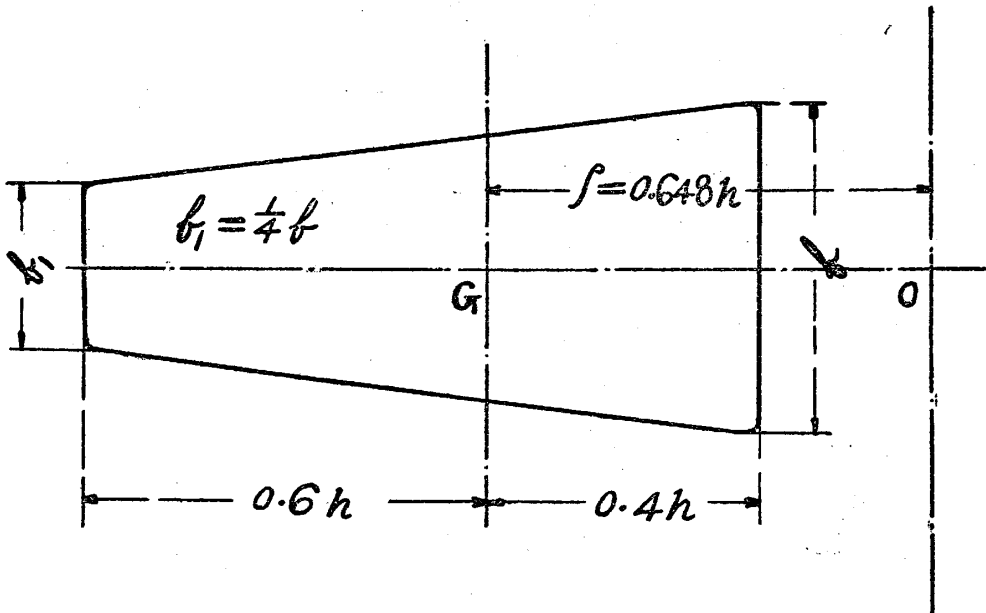


Fig. 8.

表中の最小合成内力に対する形は Fig. 8.

$x = \frac{h}{2\rho}$	$\frac{\text{合成内力}}{\text{直接内力}} = \frac{fA+W}{W} = \frac{1}{F(x)}$
0.0	inf.
0.1	30.14
0.2	16.58
0.3	12.15
0.4	10.02
0.5	8.83
0.6	8.14
0.7	7.79
0.772	7.70
0.8	7.85
0.9	7.94
1.0	8.66

截断面 rectangular であつて曲りの中心を offset した場合を一例として茲に書き加へる

假定 .....  $c = \frac{1}{2} mh = 0.2 h,$

然るときは .....  $f + \frac{W}{A} = \frac{W}{A} \left\{ \frac{1-mx}{F(x)} + mx \right\}$   
 $= \frac{W}{A} \left\{ \frac{1-0.4x}{F(x)} + 0.4x \right\},$

その  $F(x)$  は .....  $F(x) = \frac{1}{x^2} (1-x) \left( \frac{1}{2} \log \frac{1+x}{1-x} - x \right)$  である。

計算を施して次の表を作成した。

$x = \frac{h}{2\rho}$	$\frac{\text{合成内力}}{\text{直接内力}} = \frac{fA+W}{W} = \frac{1-mx}{F(x)} + mx$
0.0	inf.
0.1	30.47
0.2	16.81
0.3	11.96
0.4	9.63
0.5	8.32
0.6	7.58
0.699	7.31
0.7	7.31
0.8	7.61
0.9	7.42
1.0	inf.



第一例に記載した最小合成内力 9.62 に比較して本例の最小内力 7.31 は約二割四分の減少を示す。是れ offset の效能である。故に截断面の形状を適當に撰擇し且つ offset を利用するときは hook に生ずる内力は大に減少することを得べし (終)